

сообщения
объединенного
института
ядерных
исследований
дубна

P10-86-764

В.Б.Злоказов

**ROBUS - ПРОГРАММА
ДЛЯ РОБАСТНОГО СГЛАЖИВАНИЯ
ДИСКРЕТНЫХ ДАННЫХ
С ТРЕНДАМИ РЕЗОНАНСНОГО ТИПА**

1986

Данная работа представляет собой распространение идей и метода^{/I/} на случай помехоустойчивого сглаживания.

Итак, пусть дискретные числовые данные $f(t)$, $t=t_0, \dots, t_m$ предста- вимы в виде:

$$f(t) = b(t) + n(t)$$

где $b(t)$ – полезная компонента (информационная), а $n(t)$ – бесполезная, которая может иметь не только случайное, но и детерминированное происхождение. Требуется по $f(t)$ построить дискретную функцию $g(t)$, которая была бы как можно гладкой оценкой функции $b(t)$. Поскольку предполагаются сколь угодно сильные частотные перекрытия между функциями $b(t)$ и $a(t)$, аппарат линейных оптимальных частотных фильтров оказывается неприменимым. Так же нежелательно использование параметрических фильтров. В работе^{/I/} искомый фильтр строился следующим образом:

1) вводилось понятие меры осцилляций;

2) оценка $g(t)$ искалась из условия одновременной минимизации ее меры осцилляций и расстояния до $f(t)$ в квадратичной метрике.

В настоящей работе предлагается некоторое обобщение меры осцилляций, а квадратичную метрику предлагается заменить на робастную^{/2/}. Полученный непараметрический фильтр оказывается амплитудно-частотным, помехоустойчивым и не портящим существенно высокочастотные компоненты функции $b(t)$.

§ I. Выбор меры осцилляций

Для учета не только частотных свойств функции, но и амплитудных, в работе^{/I/} в качестве меры осцилляций функции $f(x)$ была предложена не просто величина, пропорциональная норме 2-й производной этой функции, но выражение

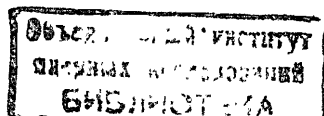
$$\mu_f(x) = \frac{f''(x)}{\sqrt{1+f'(x)^2}}, \quad \mu_f(a, b) = \int_a^b \mu^2(x) dx, \quad (I.1)$$

Здесь в знаменателе стоит дифференциал дуги функции.

Выражение (I.1) допускает следующие обобщения:

1) для комплекснозначной функции

$$\mu_f(a, b) = \int_a^b \frac{f''(x) f''\bar{x}(x)}{1+f'(x)f'\bar{x}(x)} dx, \quad (I.2)$$



где $f' \cdot x$ и $f'' \cdot x$ – функции, комплексно-сопряженные к f' и f'' ;

2) произвольную степень знаменателя

$$\mu_f(x) = \frac{f''(x)}{\sqrt{(1+f'^2(x))^\beta}}, \quad \mu_f(a, b) = \int_a^b \mu^2(x) dx. \quad (I.3)$$

Рассмотрим совокупность гармонических функций $\{\exp(-ikx)\}_{h=0,\dots,\infty}$ и определим с помощью (I.3) их интегральные меры осцилляций на участке $[0, 2\pi]$:

$$\mu_{e^{-ikx}}(0, 2\pi) = \int_0^{2\pi} \frac{k^4}{(1+k^2)^B} dx = \frac{2\pi k^4}{(1+k^2)^B} \sim ck^{4-2B}, \quad (I.4)$$

т.е. мера осцилляций базисных гармонических функций $\exp(-ikx)$ при $B = 1$ растет пропорционально квадрату частоты k . Этот закон можно менять, используя в качестве меры осцилляций выражение (I.3) с B , отличным от единицы. В частности, кривизна $f''/(1+f'^2)^{3/2}$ является линейной функцией гармонической частоты.

Рассмотрим, далее, семейство функций, зависящих от параметров следующим образом:

$$f(x, A, P, W) = Am \left(\frac{x-P}{W} \right).$$

Сюда относятся, например, функции экспоненциального типа. Для них интегральная мера осцилляций будет равна

$$\frac{\frac{A^2}{W^4} \pi^{B-2}}{(1 + \frac{A^2}{W^2} x^{B-2})^B} \sim \frac{A^{2B-2}}{W^{2B-4}}. \quad (I.5)$$

Отсюда видно, что при $B = 1$, мера осцилляций функции $f(x)$ инвариантна относительно "высоты" фигуры, график которой изображается функцией $f(x)$, а при $B = 2$ – относительно ее "ширины".

Конкретный выбор значения B при сглаживании данных, моделью которых служат финитные функции, на которые наложены осциллирующие гармонические шумы, определяется анализом на основе (I.4), (I.5) частотного состава полезной и шумовой компоненты этой модели. Качественные соображения при этом будут следующими: если спады частотных характеристик у полезной компоненты и шума существенно различны, B можно брать поменьше, иначе более подходящими окажутся большие B .

§ 2. Построение фильтра

Искомый фильтр для сглаживания функции $f(t)$ на отрезке (t_1, t_2) представляет собой следующую задачу минимизации: построить по данной функции $f(t)$ функцию $g(t)$, имеющую минимальные меры осцилляций и

расстояние до $f(t)$. Математически это выглядит так: найти минимум при заданном $\lambda > 0$:

$$\int_{t_1}^{t_2} \frac{g''(t)^2}{(1+g'(t)^2)^B} + \lambda g(g(t), f(t), t_1, t_2) \quad (2.1)$$

при граничных условиях

$$g(t_1) = f(t_1), \quad g(t_2) = f(t_2), \quad g''(t_1) = 0, \quad g''(t_2) = 0. \quad (2.2)$$

Метрика ρ может быть произвольной, в частности, квадратической. Однако больший интерес представляют робастные метрики.

Рассмотрим прежде всего дискретный аналог задачи. Итак, для дискретной функции $f(k), k=1, \dots, m$ мы должны выбрать дискретные аналоги 1-й и 2-й производной. Вопрос о 2-й производной решается просто: вместо нее берем 2-ю разность. Сложнее выглядит выбор дискретного аналога 1-й производной. Мы имеем такие аппроксимации 1-й производной:

$$f'(i) \sim f(i) - f(i-1) \quad (2.3)$$

$$f'(i) \sim f(i+1) - f(i) \quad (2.4)$$

$$f'(i) \sim \frac{f(i+1) - f(i-1)}{2}. \quad (2.5)$$

Поскольку (2.5) есть среднее (2.3) и (2.4), и тем самым более слажено, чем они, (2.3) и (2.4) больше подходят для таких участков данных, как вершины пиков, а (2.5) – для более низких по амплитуде, но осциллирующих данных.

Далее, было произведено следующее упрощение задачи (2.1). Введено понятие априорной слаженной оценки $g_o(i)$. Ее можно строить, например, так: если тройка чисел $f(i-1), f(i), f(i+1)$ разнятся между собой в пределах $\sigma(i)$, то $g_o(i)$ равно их среднему (т.е. м.н.к.-оценке), иначе, $g_o(i)$ равна их медиане (т.е. робастной оценке). С помощью априорной оценки $g_o(i)$ была упрощена запись меры осцилляций, а в качестве робастной метрики в (2.1) была использована взвешенная квадратическая. Окончательно дискретный аналог (2.1), (2.2) выглядел так: найти минимум

$$\sum_{i=2}^{m-1} \frac{g''(i)^2}{(1+g'_o(i)^2)^B} + \lambda R \sum_{i=1}^m w(i) (g(i) - f(i))^2 \quad (2.6)$$

при граничных условиях

$$g(1) = f(1), \quad g(m) = f(m), \quad g''(1) = 0, \quad g''(m) = 0. \quad (2.7)$$

Веса w_i строились следующим образом:

$$w_i = \begin{cases} 1, & \text{если } |g_o(i) - f(i)| \leq c\sigma(i) \\ \frac{1}{|g_o(i) - f(i)|}, & \text{иначе.} \end{cases} \quad (2.8)$$

Фактор R введен для нормировки. Он равен $\sum_{i=2}^{n-1} (1+g'_o(i))^B / \sum_{i=1}^n w_i$.

Величины $g'(i)$ вычислялись как корни квадратные из $f(i)$, т.е. программа ROBÜS ориентирована на сглаживание данных пуссоновского типа, но, разумеется, сам метод не зависит от выбора погрешностей данных.

Величина λ считается заданной. Она регулирует степень сглаживания и определяется с помощью тестов. Благодаря возможности сделать ме- ру осцилляций инвариантной относительно различных преобразований дан- ных и нормировке через R , λ можно выбрать так, чтобы оно годилось для очень большого круга данных.

Квадратическая метрика с весами (2.8) близка по свойствам к метри- ке Хьюбера $\sqrt{2}$ и обладает сходными робастными свойствами.

§ 3. Вычислительная схема

Уравнение для нахождения минимума (2.6) при ограниченных (2.7) имеет вид:

$$e(i+1)g''(i+1) - 2e(i)g''(i) + e(i-1)g''(i-1) + \bar{\lambda}w(i)g(i) = \bar{\lambda}w(i)f(i), \quad (3.1)$$

где $e(i) = 1/(1+g'_o(i))^B$, $\bar{\lambda} = \lambda/R$.

Сравнивая (3.1) с соответствующим уравнением в работе $/I/$, мы ви- дим, что оно отличается только множеством $w(i)$ при $\bar{\lambda}$. Отсюда легко переписать формулы из $/I/$ таким образом. Для коэффициентов матричной прогонки

$$\tilde{P}_i = A_i \tilde{P}_{i+1} + B_i \quad (3.2)$$

где \tilde{P}_i есть вектор $(g(i), g''(i))$, A_i – матрица размером 2×2 , B_i – вектор размером 2, имеем

$$a_i^{11} = d_i^{11}, \quad a_i^{12} = d_i^{12}, \quad a_i^{21} = d_i^{21}, \quad a_i^{22} = d_i^{22}, \quad a_i^{11} = a_i^{12} = a_i^{21} = a_i^{22} = 0$$

$$b_i^1 = d_i^{11} b_{i-1}^1 - d_i^{12} (\bar{\lambda}w(i)f(i) - e(i-1)b_{i-1}^2)/e(i+1), \quad b_i^1 = f_o$$

$$b_i^2 = d_i^{21} b_{i-1}^1 - d_i^{22} (\bar{\lambda}w(i)f(i) - e(i-1)b_{i-1}^2)/e(i+1), \quad b_i^2 = 0$$

где d_i^{kj} – элементы матрицы, обратной к

$$\begin{pmatrix} 2 - a_{i-1}^{11} & 1 - a_{i-1}^{12} \\ - (e(i-1)a_{i-1}^{21} + \bar{\lambda}w(i))/e(i+1) & (2e(i) - e(i-1)a_{i-1}^{22})/e_{i+1} \end{pmatrix}$$

Сначала вычисляются прогоночные коэффициенты по (3.3), затем по (3.2) получается решение $(g(i), g''(i))$.

§ 4. Локальный робастный фильтр

Локальный фильтр описанного типа проще всего строится по рекурсив- ной схеме для 5 точек. Система уравнений для определения $g(i+1), g(i)$, $g(i-1)$ при найденном $g(i-2)$ и $g(i+2) = f(i+2)$ имеет вид:

$$(4e(i+1) + e(i) + \bar{\lambda}w(i+1))g(i+1) - 2e(i+1)e(i)g(i) + e(i)g(i-1) = \bar{\lambda}w(i+1)f(i+1) + 2e(i+1)f(i+2);$$

$$-2(e(i) + e(i+1))g(i+1) + z_i g(i) - 2(e(i) + e(i-1))g(i-1) = \bar{\lambda}w(i)f(i) - e(i+1)f(i+2) - e(i-1)g(i-2);$$

$$e(i)g(i+1) - 2(e(i) + e(i-1))g(i) + (e(i) + 4e(i-1) + \bar{\lambda}w(i-1))g(i-1) = \bar{\lambda}w(i-1)f(i-1) + 2e(i-1)g(i-2), \text{ где } z_i = (e(i+1) + 4e(i) + e(i-1) + \bar{\lambda})$$

Эта система проще всего решается обращением матрицы 3-го порядка. Затем i сдвигается на 1 (если только $g(i-1)$ добавляется к решению), на 2 (если добавляется $g(i-1)$ и $g(i)$), на 3 (если добавляются все три числа).

§ 5. Фильтрация больших массивов данных

Так как описанный фильтр требует в общем случае 8 массивов для хранения исходных данных, величин $e(i)$ и прогоночных данных, каждый размером m чисел, то при больших m возникают слишком большие требо- вания к объему памяти ЭВМ.

Целесообразно разбить такие данные на малые группы и обрабатывать каждую группу отдельно. Как показали тестовые испытания, при этом ка- чество фильтрации при фиксированном λ может ухудшиться лишь за счет нарушения масштабной (или ширинной) инвариантности фильтра. Во избе- жение этого рекомендуется вычислять фактор R для всех данных и сгла- живать данные с таким общим для всех групп R .

§ 6. Многомерные обобщения

Фильтр может быть обобщен на многомерный случай следующим обра- зом: Если $f(\bar{k})$, \bar{k} – вектор индексов размерности n , и $g_o(\bar{k})$ – апри- орная оценка сглаженных данных, то мера осцилляций функции n аргу- ментов в области A строится так

$$\mu_f(A) = \sum_{\{\bar{k}\} \in A} \frac{f_{k_1 k_2 \dots k_n}''^2(\bar{k})}{(1 + f_{k_1}''(x)^2 + f_{k_2}''(x)^2 + \dots + f_{k_n}''(x)^2)^B} \quad (6.1)$$

Здесь k_i – i -ая компонента вектора \bar{k} .

Метрика в (2.6) остается неизменной, лишь аргумент i заменяется на многомерный \bar{k} .

Многомерный фильтр требует очень большую вспомогательную память для хранения промежуточных результатов. Компромиссными вариантами будут следующие:

1) сглаживание с помощью фильтра (2.6) по каждой координате одно- мерных сечений функции $f(\bar{k})$ последовательно или по какому-либо друго- му закону;

2) переход к локальным фильтрам.

Приведем пример локального фильтра для дискретной функции двух аргументов $f(i, j)$.

Мера осцилляций в двумерном случае выглядит так:

$$\mu_f(A) = \sum_{i,j \in A} (f_{ii}^2(i,j) + f_{jj}^2(i,j)) / ((1+f_{io}(i,j))^2 + f_{jo}(i,j)^2)^{\beta}$$

при наличии априорной оценки $f_o(i,j)$ сглаженной функции. Приведем пример рекурсивного 5-точечного локального фильтра. Пусть вычислен, как и в одномерном случае, глобальный фактор r для всей функции $f(i,j)$. Первый шаг - получение сглаженных граничных при $i=1$ и $j=1$ значений либо из теоретических соображений, либо с помощью одномерных глобальных фильтров (2.6), (2.7). Затем по вычисленным $g(i-1,j)$ и $g(i,j-1)$ и $f(i+1,j)$ и $f(i,j+1)$ вычисляется сглаженное значение $g(i,j)$ по формуле:

$$g(i,j) = \frac{aw(i,j)f(i,j) + g(i-1,j) + g(i,j-1) + f(i,j+1) + f(i+1,j)}{4+aw(i,j)},$$

где $a = \frac{\lambda(1+(g_o(i+1,j)-g_o(i-1,j))^2/4+(g_o(i,j+1)-g_o(i,j-1))^2/4}{2R}$,

$$w(i,j) = \begin{cases} 1, & \text{если } |g_o(i,j) - f(i,j)| < \sigma(i,j) \\ \frac{1}{|g_o(i,j) - f(i,j)|}, & \text{иначе.} \end{cases}$$

В качестве $g_o(i,j)$ можно брать, например, медиану из чисел $g(i-1,j)$, $g(i,j-1)$, $f(i,j)$, $f(i,j+1)$, $f(i+1,j)$ или приближенную медиану, определяемую для чисел a_i , $i=1, \dots, n$ так:

$$m\{a_i\} = (\sum_{i=1}^n a_i - \max_i\{a_i\} - \min\{a_i\})/(n-2).$$

§ 7. Описание программы

Обращение к программе имеет вид:

CALL ROBUS(SA,M,SB,SD,RR,RMODE,BET,UR) , где:

SA (2M) - массив исходных данных длиной M чисел;

SB (2M) - рабочий массив;

SD (4M) - рабочий массив, после фильтрации SD содержит результат сглаживания M чисел;

RR - λ : 0 - строится априорная функция $g_o(t)$ так: сначала берется скользящая медиана, затем она сглаживается с помощью фильтра 4-й разности $/4$:

$$g_o(t) = (12(g(t+1) + g(t-1) - 3(g(t+2) + g(t-2)) + 17g(t))/35$$

Затем по $g_o(t)$ строится мера осцилляций и далее фильтр работает по описанной в работе схеме.

I - В качестве результата выдается $g_o(t)$

2 - Для построения меры осцилляций берется заданная в массиве SD функция $g(t)$.

(в формуле 2.8)

§ Тестирование алгоритма

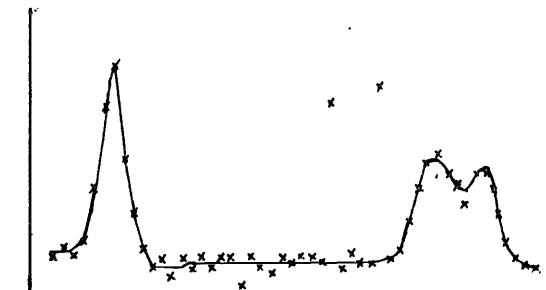
Поскольку преимущества описанного фильтра перед обычными частотными были показаны еще в работе ¹, целью тестов было следующее:

I) показать на данных пуассоновского типа, содержащих "выбросы", работу фильтра;

2) проверить некоторые статистические характеристики данного фильтра.

Результаты тестирования приведены в таблице

Работу программы иллюстрирует рисунок.



Крестиками обозначены исходные данные, непрерывной линией - сглаженные. Видно, что фильтр не реагирует на грубые выбросы, почти не исправляет пики и в основном сглаживает плавный участок данных.

Таблица

В таблице приведены сначала для данных без выбросов, а затем для тех же данных с выбросами:

C1,C2,C3 - средние значения на трех последовательных участках модуля дискретного преобразования Фурье;

SM - величина, характеризующая гладкость данных - средняя кривизна;

DE - среднеквадратичное отклонение от исходных данных;

VAN - нормированное среднеквадратичное отклонение от линии, являющейся математическим ожиданием данных;

VAUN - ненормированное такое же отклонение;

C - среднее значение нормированного отклонения от истинной линии.

Эти величины приведены для исходных данных, для отфильтрованных с помощью фильтра ROBUS и фильтра 4 разности (локально-регрессионного).

	c_1	c_2	c_3	SM	DE	VAN	VAUN	C
исх.	.77	.16	.07	72	0	II.4	5954	.27
ROBUS	.80	.16	.04	0	1382	5.6	4138	.30
4 разн.	.83	.14	.02	81	1672	4.9	2596	.34
	c_1	c_2	c_3	SM	DE	VAN	VAUN	C
исх.	.54	.22	.24	4877	0	601.7	124974	4.67
ROBUS	.79	.16	.05	0	II7847	5.8	4623	.2
4 разн.	.69	.22	.08	16	37672	295.0	6II75	4.74

Комментарий к таблице

Видно, что выбросы сильно смещают спектр Фурье в сторону верхних частот: от (.77, .16, .07) к (.54, .22, .24), нарушают резко гладкость, т.е. среднюю кривизну: от 72 к 4677, резко увеличивают средние дисперсию и отклонение.

При этом ROBUS обеспечивает оптимальную гладкость: меньше единицы в среднем, сохраняет спектр Фурье почти нечувствительным к выбросам и обеспечивает минимальное нормированное отклонение. Меньшая средняя дисперсия у фильтра 4-й разности объясняется тем, что ROBUS сохраняет почти неизменными пики, где дисперсия максимальна. Но зато ROBUS сглаживает плавную часть данных значительно лучше, чем фильтр 4-й разности. Результаты сравнения с другими фильтрами: Фурье, частотным и 2-й производной не приведены, так как характеристики этих фильтров намного хуже, чем характеристики фильтра 4-й разности.

Литература

1. Zlokazov V.B., Comp. Phys. Comm., 21(1981), 373-383,
ОИИ, Р10-80-510, Дубна, 1980.
2. Хьюбер П.Дж. Робастность в статистике. Мир, М., 1984.
3. Wilks S.S., Mathematical Statistics (John Wiley, New York,
London, 1962).
4. Lanczos C., Applied Analysis. Prentice Hall, inc,
Englewood Cliffs, N.J., 1956.

Рукопись поступила в издательский отдел
26 ноября 1986 года.

Злоказов В.Б.

P10-86-764

ROBUS – программа для робастного сглаживания
дискретных данных с трендами резонансного типа

Описан сглаживающий фильтр сплайнового типа, сохраняющий пики и нечувствительный к отдельным выбросам. Для дискретной функции $g(k)$ ее сглаженный вариант $s(k)$ можно найти как решение задачи: минимизировать

$$\sum_{i=2}^{m-1} e_i s''(i)^2 + \lambda \rho(s(i), g(i)), \quad i = 1, \dots, m,$$

где e_i – мера осцилляций функции $g(k)$, $e_i = 1/(1 + g'(i)^2)$, s'', g' – вторая и первая разности функций s и g , ρ – робастная метрика.

Работа выполнена в Лаборатории вычислительной техники и автоматизации ОИИЯИ.

Сообщение Объединенного института ядерных исследований. Дубна 1986

Перевод О.С.Виноградовой

Zlokazov V.B.

P10-86-764

ROBUS – A Program for Robust Smoothing
of Discrete Data Containing Resonance-Like Trends

A smoothing filter of the spline type is described, which saves peaks and is not sensitive to the single outliers. $s(k)$ – a smoothed match to a discrete function $g(k)$ is searched for as a solution of the problem:

$$\text{minimize } \sum_{i=2}^{m-1} e_i s''(i)^2 + \lambda \rho(s(i), g(i)), \quad i = 1, \dots, m,$$

where e_i is an oscillation measure of the function $g(k)$, $e_i = 1/(1 + g'(i)^2)$, s'', g' are the second and the first differences of functions s and g , and ρ is a robust metrics.

The investigation has been performed at the Laboratory of Computing Techniques and Automation, JINR.

Communication of the Joint Institute for Nuclear Research. Dubna 1986